

МИНИСТЕРСТВО ОБРАЗОВАНИЯ И НАУКИ
РОССИЙСКОЙ ФЕДЕРАЦИИ
Федеральное агентство по образованию

УНИВЕРСИТЕТ ИТМО

Факультет компьютерных технологий и управления
Кафедра систем управления и информатики

Студент: Артемов Кирилл
группа Р4135
ЛАБОРАТОРНАЯ РАБОТА №2

Решение обратной задачи кинематики

Преподаватель
_____ А. А. Пыркин
«___» _____ 2016 г.

Санкт-Петербург, 2016 г.

1 Цель работы

Решение обратной задачи кинематики (ОЗК).

2 Исходные данные

Шестизвенный манипулятор с вращательными звеньями.

Таблица 1: Параметры ДН.

Link	a_i	α_i	d_i	θ_i
1	0	$\frac{\pi}{2}$	d_1	0
2	a_2	0	0	0
3	0	$\frac{\pi}{2}$	0	$\frac{\pi}{2}$
4	0	$-\frac{\pi}{2}$	d_4	0
5	0	$\frac{\pi}{2}$	0	0
6	0	0	d_6	0

Дана матрица однородных преобразований (4x4).

$$H_6^0 = \begin{pmatrix} R & o \\ 0 & 1 \end{pmatrix} \quad (1)$$

где вектор положения схвата:

$$o_6^0 = \begin{pmatrix} o_x \\ o_y \\ o_z \end{pmatrix} \quad (2)$$

матрица ориентации схвата:

$$R_6^0 = \begin{pmatrix} r_{11} & r_{12} & r_{13} \\ r_{21} & r_{22} & r_{23} \\ r_{31} & r_{32} & r_{33} \end{pmatrix} \quad (3)$$

3 Ход выполнения работы

Так как оси вращения z_4, z_5, z_6 пересекаются в точке o_c , то задача разделяется на две подзадачи:

1. ОЗК по положению - нахождение q_1, q_2, q_3
2. ОЗК по ориентации - нахождение q_4, q_5, q_6

3.1 ОЗК по положению

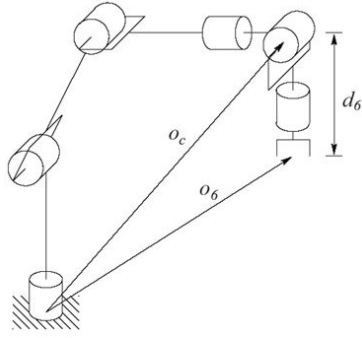


Рис. 1: Kinematic decoupling

Для начала следует найти вектор o_c^0 :

$$o_c^0 = o_6^0 - d_6 R_6^0 \begin{bmatrix} 0 \\ 0 \\ 1 \end{bmatrix} \quad (4)$$

Далее, получив уравнения для проекции каждой из координат точки o_c на соответствующие оси, приступим к геометрическому нахождению углов q_1, q_2, q_3 .

$$\begin{bmatrix} x_c \\ y_c \\ z_c \end{bmatrix} = \begin{bmatrix} o_x - d_6 r_{13} \\ o_y - d_6 r_{23} \\ o_z - d_6 r_{33} \end{bmatrix} \quad (5)$$

Решение для q_1

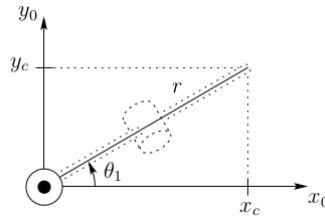


Рис. 2: Угол $q_1 = \theta_1$

$$\begin{aligned} q_1^1 &= \text{atan2}(y_c, x_c) \\ q_1^2 &= \pi + \text{atan2}(y_c, x_c) \\ &\text{где } x_c \neq 0, y_c \neq 0 \end{aligned}$$

Решение для q_3

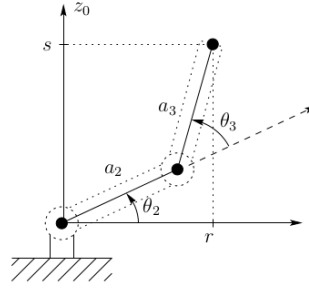


Рис. 3: Угол $q_3 = \theta_3$

По теореме синусов получим:

$$\begin{aligned}
 s^2 + r^2 &= a_2^2 + a_3^2 - 2a_2a_3 \cos(\pi - q_3) \\
 \cos q_3 &= \frac{s^2 + r^2 - a_2^2 - a_3^2}{2a_2a_3} = D \\
 s &= z_c - d_1 \\
 r &= \sqrt{x_c^2 + y_c^2} \\
 q_3^1 &= \text{atan2}(\sqrt{1 - D^2}, D) \quad q_3^2 = \text{atan2}(-\sqrt{1 - D^2}, D)
 \end{aligned}$$

Решение для q_2

Тут, необходимо заметить, что плоская часть манипулятора в одну и ту же точку может прийти четырьмя разными способами. Т.е для каждого из q_1 имеем два q_3 и четыре q_2 . Таким образом получаем четыре конфигурации манипулятора для углов q_1, q_2, q_3 .

$$\begin{aligned}
 q_2^{1,2} &= \text{atan2}(s, r) - \text{atan2}(a_3 \sin q_3, a_2 + a_3 \cos q_3) \\
 q_2^{3,4} &= \pi - \text{atan2}(s, r) - \text{atan2}(a_3 \sin q_3, a_2 + a_3 \cos q_3)
 \end{aligned}$$

3.2 ОЗК по ориентации

Положение схвата описывается следующим выражением:

$$R_6^0 = R_3^0 R_6^3 \quad (6)$$

Выразим матрицу поворота R_6^3 через известную R_3^0 и заданную R_6^0 :

$$R_6^3 = (R_3^0)^{-1} R_6^0 = (R_3^0)^T R_6^0 = \begin{bmatrix} h_{11} & h_{12} & h_{13} \\ h_{21} & h_{22} & h_{23} \\ h_{31} & h_{32} & h_{33} \end{bmatrix} \quad (7)$$

Запишем соотношение заданной матрицы и матрицы R_6^3 :

$$\begin{bmatrix} h_{11} & h_{12} & h_{13} \\ h_{21} & h_{22} & h_{23} \\ h_{31} & h_{32} & h_{33} \end{bmatrix} = \begin{bmatrix} c_{q_1} c_{q_2} c_{q_3} & -c_{q_1} s_{q_2} s_{q_3} & s_{q_1} \\ s_{q_1} c_{q_2} c_{q_3} & -s_{q_1} s_{q_2} s_{q_3} & -c_{q_1} \\ s_{q_2} s_{q_3} & c_{q_2} c_{q_3} & 0 \end{bmatrix} \begin{bmatrix} r_{11} & r_{12} & r_{13} \\ r_{21} & r_{22} & r_{23} \\ r_{31} & r_{32} & r_{33} \end{bmatrix} \quad (8)$$

Найдем матрицу $ZYZ - EulerAngleTransformation$

$$R_{YZZ} = \begin{bmatrix} c_\phi c_\theta c_\psi - s_\phi s_\psi & -c_\phi c_\theta s_\psi - s_\phi s_\psi & c_\phi s_\theta \\ s_\phi c_\theta c_\psi - c_\phi s_\psi & c_\phi c_\theta s_\psi - s_\phi c_\theta s_\psi & s_\phi s_\theta \\ -s_\theta c_\psi & s_\theta s_\psi & c_\theta \end{bmatrix} \quad (9)$$

Пусть:

$$\begin{bmatrix} q_4 \\ q_5 \\ q_6 \end{bmatrix} = \begin{bmatrix} \phi \\ \theta \\ \psi \end{bmatrix} \quad (10)$$

Теперь приравняв $R_6^3 = R_{YZZ}$, получим девять уравнений, решая совместно которые найдем нужные нам углы.

Решение для $\theta \neq \pi k$

Если $h_{13} \neq h_{23}$, то $\sin \theta \neq 0$, следовательно $\cos \theta = h_{33} \neq \pm 1$, $\sin \theta = \pm \sqrt{1 - h_{33}^2}$.

$$\theta_{1,2} = \text{atan2}(\pm \sqrt{1 - h_{33}^2}, h_{33}) \quad (11)$$

Если $\sqrt{1 - h_{33}^2} > 0$, тогда:

$$\begin{aligned} \phi_1 &= \text{atan2}(h_{23}, h_{13}) \\ \psi_1 &= \text{atan2}(h_{32}, -h_{31}) \end{aligned}$$

Если $\sqrt{1 - h_{33}^2} < 0$, тогда:

$$\begin{aligned} \phi_2 &= \text{atan2}(-h_{23}, -h_{13}) \\ \psi_2 &= \text{atan2}(-h_{32}, h_{31}) \end{aligned}$$

Решение для $\theta = \pi k$

Если $h_{13} = h_{23} = 0$ и $h_{31} = h_{32} = 0$, то $h_{33} = \pm 1 = \cos \theta$. Если $h_{33} > 0$, то $\cos \theta = 1$, $\sin \theta = 0$, следовательно $\theta = 0$

$$\phi + \psi = \text{atan2}(h_{21}, h_{11}) = \text{atan2}(-h_{12}, h_{11})$$

Если $h_{33} < 0$, то $\cos \theta = -1$, $\sin \theta = 0$, следовательно $\theta = \pi$

$$\phi - \psi = \text{atan2}(h_{21}, h_{11}) = \text{atan2}(-h_{12}, -h_{11})$$

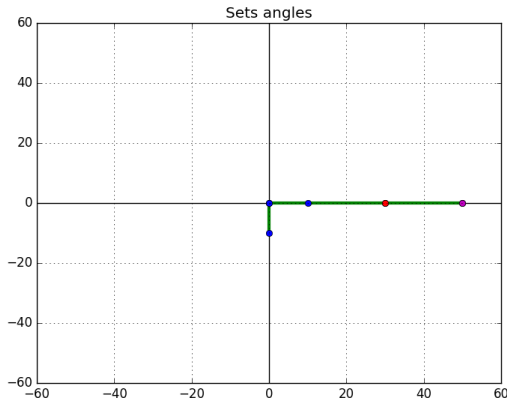
В обоих последних случаях углы ϕ и ψ могут быть любыми, т.е. существует бесконечное количество решений полученных уравнений.

4 Моделирование

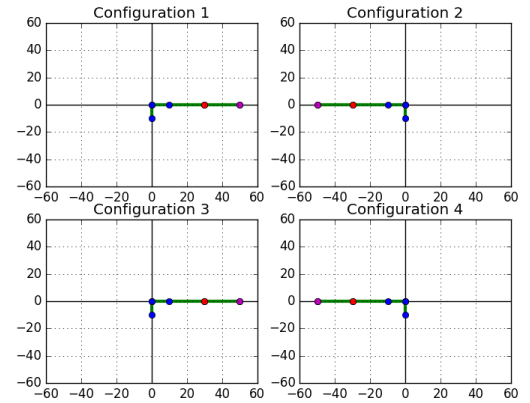
Для проверки полученных решений мною была написана программа на языке программирования Python, результаты работы которой представлены ниже.

Для приведенных примеров $q_1 = 0$.

На рисунках буквой а) отмечена заданная конфигурация манипулятора для которой была решена прямая задача кинематики и получена матрица H_6^0 . Буквой б) – четыре возможные конфигурации манипулятора для заданной точки os (Конфигурации 2 и 4 изображены зеркально, для большей наглядности). Розовой точке соответствует положение схвата манипулятора. Красная точка изображает положение точки os , найденной ранее в разделе 3.1.

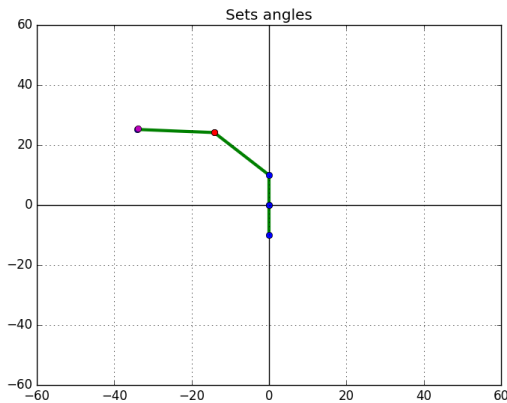


а)

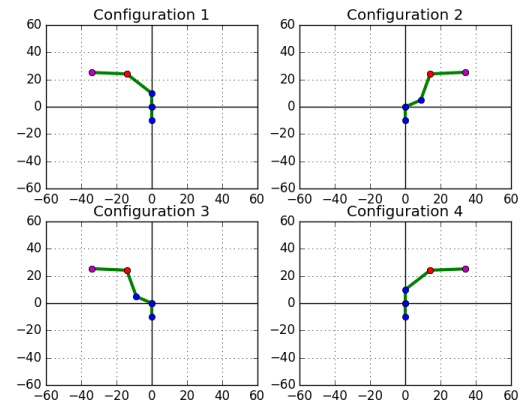


б)

Рис. 4: Для заданных углов в градусах $[0, 0, 0, 0, 0, 0]$.



а)



б)

Рис. 5: Для заданных углов в градусах $[0, 90, 45, 13, 42, 201]$.

И последнее, что остается проверить это ориентацию схвата. Для этого решим прямую задачу кинематики для полученных значений обобщенных

координат и сравним их.

$$R_{init} \begin{bmatrix} -0.04587165 & -0.15718776 & -0.98650281 & -33.87219189 \\ 0.63195955 & 0.76024362 & -0.15052164 & -3.01043271 \\ 0.77364263 & -0.63033455 & 0.06446268 & 35.43138918 \\ 0. & 0. & 0. & 1. \end{bmatrix} \quad (12)$$

$$R_{result} \begin{bmatrix} -0.04587831 & -0.15718265 & -0.98650332 & -33.87220197 \\ 0.63196448 & 0.76023956 & -0.15052147 & -3.01042941 \\ 0.77363821 & -0.63034073 & 0.06445535 & 35.43124262 \\ 0. & 0. & 0. & 1. \end{bmatrix} \quad (13)$$

Матрицы равны с точностью до трех знаков.

5 Вывод

Итак, проделав долгий и тяжелый путь от нахождения параметров Денавита-Хартенберга, решения прямой задачи кинематики, обратной по положению и ориентации, моделировании и анализе полученных результатов можно с уверенностью сказать – задача выполнена.